

07

## КИНЕТИКА ГЕНЕРАЦИИ ЭКСИМЕРНОГО ЛАЗЕРА С ТЕЛЕСКОПИЧЕСКИМ НЕУСТОЙЧИВЫМ РЕЗОНАТОРОМ И ПОЛЯРИЗАЦИОННЫМ ВЫВОДОМ ИЗЛУЧЕНИЯ

*Ю. А. Ананьев, С. Г. Аникичев, А. Ф. Богонов, В. С. Бураков, Г. Г. Ком,  
В. А. Орлович, В. А. Титарчук*

Проведен цикл экспериментальных и теоретических исследований, направленных на оптимизацию неустойчивого резонатора электроразрядного XeCl лазера.

Во многих практических применениях эксимерных лазеров важное значение имеет расходимость генерируемого излучения. Для ее уменьшения, как известно, применяются неустойчивые резонаторы [1-3]. Короткое время существования инверсии и большое усиление в электроразрядных эксимерных лазерах диктует выбор резонаторов с большими значениями увеличения  $M$  [3, 4]. Падение же энергии генерации с ростом  $M$ , а также отсутствие исследований по оптимизации характеристик эксимерных лазеров побудило нас предпринять экспериментальные и теоретические исследования энергетических, временных и пространственных характеристик соответствующего электроразрядного XeCl лазера, направленные на оптимизацию его резонатора.

В эксперименте мы использовали телескопический неустойчивый резонатор с поляризационным выводом (THRPB) [5-7], позволяющий получать на выходе пучок сплошного сечения и менять величину обратной связи без изменения геометрии резонатора. Возбуждение активной среды осуществлялось от  $LC$ -конттура с перезарядкой емкости [8]. Для коммутации использовался тиатрон ТГИ-1-1000/25. Предыонизация активной среды осуществлялась с помощью четырех рядов искр, равномерно расположенных вдоль электродов. Размер активной среды составлял  $50 \times 2 \times 0.8$  см; в качестве активной среды использовалась смесь HCl : Xe : He = 4 : 75 : 1900 при общем давлении 1980 Тор. Этот лазер с плоским резонатором генерировал пучок с энергией  $E_{\text{gen}} = 70$  мДж и расходимостью 7.2 мрад по большому и 2.4 мрад по малому размерам его апертуры.

В резонаторе использовались полностью отражающие диэлектрические зеркала. Окнами разрядной камеры служили кварцевый клин с углом  $5^\circ$  и вогнутое зеркало. Между клином и выпуклым зеркалом располагались четвертьволновая пластина, диэлектрический пленочный поляризатор, ориентированный под углом Брюстера к оптической оси резонатора, и диафрагма. Коэффициент увеличения резонатора  $M = |r_2/r_1|$  изменялся от 3.5 до 350. При  $M=3.5$  радиусы зеркал составляли  $r_2 = 250$  см и  $r_1 = -71$  см, во всех остальных случаях  $r_2$  равнялся 207 см, а изменение  $M$  достигалось за счет установки выпуклых зеркал с различными  $r_1$ . Размеры внутрирезонаторной диафрагмы выбирались из условия наилучшего заполнения поперечного сечения активной среды потоком излучения.

Энергия генерируемого излучения измерялась с помощью прибора ИМО-2Н, временная форма импульса регистрировалась коаксиальным фотоэлементом ФК-2 и осциллографом С7-15. Расходимость выходного пучка определялась стандартным методом фокального пятна. Форма и энергия импульса регистри-

ровалась как для суммарного выходного пучка, так и для дифракционного керна.

На рис. 1 представлены осциллограммы импульсов излучения XeCl лазера для различных коэффициентов увеличения резонатора. Во всех случаях импульсы генерации промодулированы с периодом, равным времени двойного прохода излучения по резонатору ( $T=2L/c$ , где  $L$  — длина резонатора,  $c$  — скорость света). Как указывалось в [4], возникновение такой модуляции в неустойчивом резонаторе вызвано быстрым и одновременным по всей длине возбуждением активной среды. При возрастании  $M$  несколько увеличивается глубина модуляции и амплитуда первого «пичка» излучения в дифракционном керне.

На рис. 2 (сплошные линии) приведены зависимости суммарной энергии  $E$ , и энергии в дифракционном керне  $E_d$  от коэффициента увеличения резонатора: с возрастанием  $M$  происходит монотонное уменьшение суммарной энергии. В то же время существует некоторое оптимальное значение параметра  $M$  (в данном случае  $M=10$ ), при котором энергия в дифракционном керне принимает

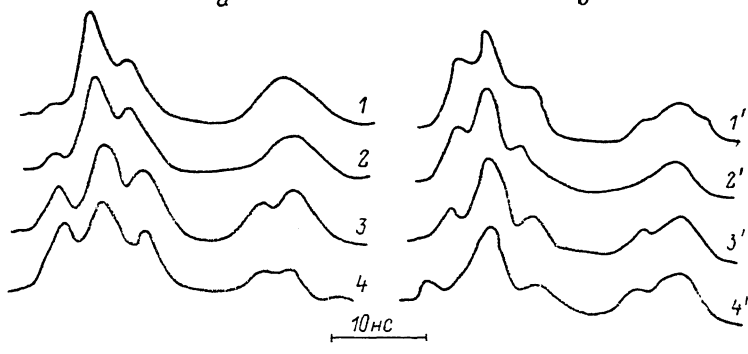


Рис. 1. Форма импульсов излучения XeCl лазера при различных  $M$  для дифракционного керна (a) и для суммарного потока (b).

Смесь HCl : Xe : Ne.  $M=10.4$  (1, 1'); 53 (2, 2'); 99 (3, 3'); 207 (4, 4').

максимальное значение. Варьируя  $M$ , мы также проводили оптимизацию величины обратной связи резонатора по выходной энергии путем поворота фазовой пластины. Оказалось, что для всех коэффициентов увеличения оптимальная доля выводимого излучения практически оставалась неизменной.

При возрастании  $M$  наблюдается монотонное уменьшение расходимости по направлению как большого  $\varphi_b$ , так и малого  $\varphi_m$  размеров поперечного сечения активной среды (рис. 3). Причем в диапазоне  $3.5 < M < 60$  расходимость уменьшается довольно резко, а при  $M > 60$  уменьшение расходимости происходит гораздо медленнее. Примечательно то, что расходимость  $\varphi_b$  по большой апертуре во всем диапазоне изменения  $M$  остается примерно в 2—3 раза больше расходимости  $\varphi_m$  по меньшей апертуре, при больших  $M$  наблюдается тенденция к сближению обеих расходимостей (вставка на рис. 3), однако и в этих условиях  $\varphi_b$  остается больше  $\varphi_m$ . Последнее свидетельствует о том, что процесс установления колебаний в лазере не завершен. Поэтому, очевидно, увеличение длительности импульса должно приводить к уменьшению расходимости.

Мы проверили это предположение экспериментально. Варьирование длительности импульса генерации достигалось за счет изменения состава смеси активной среды лазера. Так, использование в качестве галогеносодержащего соединения четыреххлористого углерода приводило к уменьшению длительности импульса до 8 нс, а замена буферного газа гелием неоном вызывала увеличение длительности до 30 нс при тех же условиях возбуждения активной среды. На рис. 4 приведены зависимости расходимости выходного излучения от  $M$  по большой и малой апертурам пучка для трех указанных выше смесей. Видно, что наименьшее значение  $\varphi$  при заданном  $M$  действительно получается для смеси, обеспечивающей наибольшую длительность существования инверсии. Минимальные расходимости, полученные со смесью HCl : Xe : Ne, составили  $\varphi_b \times$

$\times \varphi_m = 110 \times 60$  мкрад. Кроме того, увеличение времени существования инверсии приводило к росту полной энергии и повышению доли энергии, содержащейся в дифракционном керне.

Параллельно с экспериментом мы проводили численные расчеты эксимерного лазера с неустойчивым резонатором, воспользовавшись для этого представлениями, выработанными в [4] применительно к проблеме описания процесса установления колебаний в лазерах с неустойчивыми резонаторами на средах с малым временем существования инверсии.

Дело в том, что характерные особенности лазеров на эксимерных молекулах хорошо соответствуют расчетной модели, разработанной и примененной в [4] для анализа генерации лазеров на парах меди, а именно: малое время жизни возбужденного состояния указывает на превалирующую роль переходных процессов в ходе генерации; высокий коэффициент усиления в среде, а вместе с ним

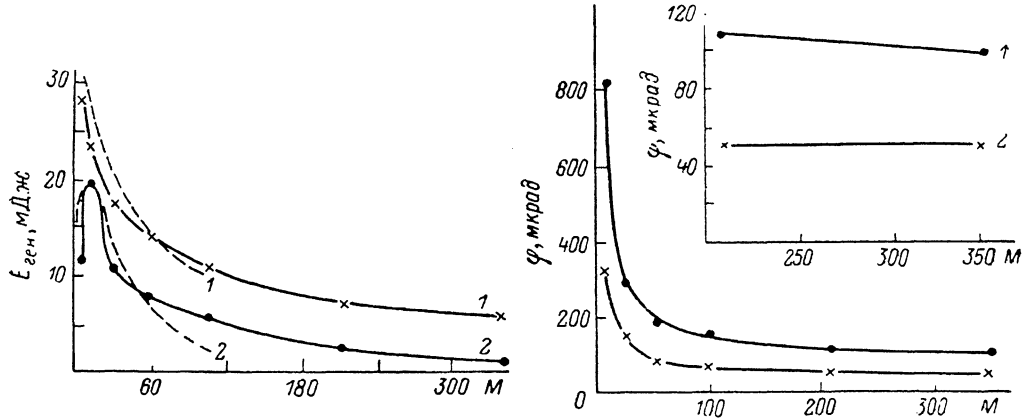


Рис. 2. Зависимость суммарной энергии генерации лазера (1) и энергии в дифракционном керне (2) от коэффициента увеличения  $M$  резонатора для смеси  $\text{HCl} : \text{Xe} : \text{He}$ .

Сплошные линии — эксперимент, штриховые — расчет.

Рис. 3. Зависимость расходимости генерируемого излучения по большому (1) и малому (2) размерам поперечного сечения активной среды от увеличения  $M$  для смеси  $\text{HCl} : \text{Xe} : \text{He}$ .

и мощное спонтанное излучение, присутствующее в выходном импульсе на всех стадиях его развития, заставляют прибегнуть к описанию генерации как процесса эволюции рождающегося в активной среде и усиливающегося ею же спонтанного излучения.

В связи с этим часть методики расчетов, относящуюся к вычислению плотности излучения, мы взяли из [4], видоизменив ее для случая поляризационного вывода (для этого достаточно ввести в эквивалентную схему наклонную пластину, осуществляющую вывод определенной доли излучения из резонатора).

Основную трудность при расчетах эксимерных лазеров составляет моделирование активной среды. Многочисленность реакций, протекающих при разряде, и отсутствие сведений о константах их скоростей делают невозможным достаточно строгое и одновременно компактное описание процессов, протекающих в среде при генерации. Поэтому для смеси  $\text{HCl} : \text{Xe} : \text{He}$  мы ограничились учетом всего двух реакций, ведущих к образованию  $(\text{XeCl})^* : \text{HCl} + (\text{Xe})^* \rightarrow (\text{XeCl})^* + \text{H}$  с известной из литературы константой скорости  $k_1 = 5.6 \times 10^{-10} \text{ см}^3 \cdot \text{с}^{-1}$  и  $\text{Xe} \rightarrow \text{Xe}^*$  с неизвестной нам константой скорости  $k_2$ . Этим двум процессам соответствует пара дифференциальных уравнений вида

$$\frac{dN_{(\text{XeCl})^*}}{dt} = k_1 N_{\text{Xe}} N_{\text{HCl}} - \frac{\rho c \sigma}{h\nu} \dot{N}_{(\text{XeCl})^*} - \frac{1}{\tau_1} N_{(\text{XeCl})^*},$$

$$\frac{dN_{\text{Xe}^*}}{dt} = k_2 j(t) (N_{\text{Xe}}^0 - N_{\text{Xe}^*}) - k_2 j(t) N_{\text{Xe}^*} - \frac{1}{\tau_2} N_{\text{Xe}^*}, \quad (1)$$

где  $N^0$  — исходные концентрации,  $N$  — искомые концентрации соответствующих атомов и молекул,  $\rho$  — плотность усиленного спонтанного излучения,  $\tau_1 = 11 \cdot 10^{-9}$  с — время жизни молекулы ( $XeCl^*$ ),  $\tau_2$  — время жизни  $Xe^*$  определялось при расчетах,  $c$  — скорость света,  $\sigma = 4.5 \cdot 10^{-16}$  см<sup>2</sup> — сечение вынужденного излучения;  $j(t)$  — плотность тока накачки, разность  $N_{Xe}^0 - N_{Xe^*}$  — концентрация невозбужденного ксенона, член  $j(t) k_2 N_{Xe^*}$  описывает процесс снятия возбуждения электронами,  $N_{HCl} = N_{HCl}^0 - N_{(XeCl)^*} - \int_0^t (\rho(\tau)/\hbar\nu) \times \sigma N_{(XeCl)^*}(\tau) d\tau$ , где последний член представляет собой число развалившихся молекул к данному моменту времени.

Система (1) вместе с уравнением для плотности излучения (подробно оно выведено в [4]) образуют замкнутую систему интегродифференциальных уравнений, которая решалась численно при  $N_{Xe}^0 = 1.4 \cdot 10^{18}$  см<sup>-3</sup>,  $N_{HCl}^0 = 1.4 \cdot 10^{17}$  см<sup>-3</sup> и известной из эксперимента зависимости  $j$  от времени  $j(t) = j_0 |\sin(10^{-8}t)| \exp(-2.5 \cdot 10^{-2}t)$ .

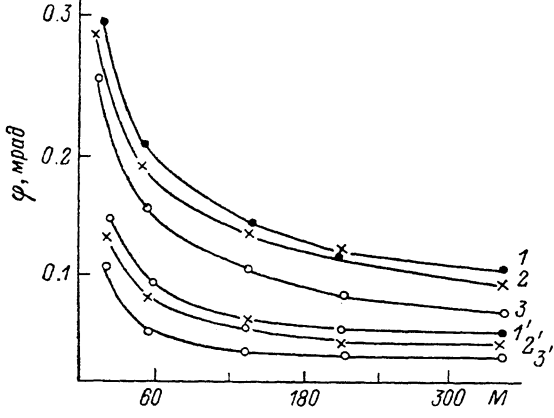


Рис. 4. Зависимость расходимости излучения в дифракционном керне для большого (1, 2, 3) и малого (1', 2', 3') попечерных сечений лучка от коэффициента увеличения  $M$  резонатора для рабочих смесей  $CCl_4 : Xe : He$  (1, 1');  $HCl : Xe : He$  (2, 2');  $HCl : Xe : Ne$  (3, 3').

Неизвестные заранее величины  $k_2 j_0$  и  $\tau_2$  варьировались при расчетах до совпадения энергии импульса, его формы и энергии, попадающей в дифракционный керн, с экспериментальными данными, полученными при увеличении резонатора  $M=52$ . В результате мы получили  $\tau_2 = 8.4 \cdot 10^{-9}$  с,  $k_2 j_0 = 1.2 \cdot 10^6$  с<sup>-1</sup> или  $\tau_2 = 0.76 \tau_1$ ,  $k_2 j_0 = 1.35 \cdot 10^{-3}/\tau_1$ ; во всех последующих расчетах мы пользовались значениями констант, установленных при  $M=52$ .

При расчетах анализировались следующие характеристики: выходная мощность как функция времени  $W(t)$ ; зависимость доли мощности  $\Phi(\varphi_0, t)$ , приходящейся на дифракционный угол  $\varphi_0$ , от времени; коэффициент усиления  $k_{ye}(t)$ ; энергия импульса  $E_e = \int W(t) dt$  и ее часть  $E_d = \int W(t) \Phi(\varphi_0, t) dt$ , которая приходится на керн дифракционного распределения, при различных увеличениях резонатора.

В результате указанного подбора параметров нам удалось добиться полного качественного совпадения результатов расчетов и экспериментов, что свидетельствует о правильности высказанных нами соображений о свойствах резонатора и активной среды.

Форма импульса  $W(t)$  совпадает с экспериментальной с точностью до глубины модуляции: при генерации на средах с малым временем существования инверсии возбуждаются релаксационные колебания плотности, физические причины существования которых указаны выше; более глубокая модуляция, получаемая при расчетах, объясняется отсутствием в модели зависимости  $k_{ye}$  от частоты излучения, а также отсутствием логарифмического поглощения на ионах  $Cl^-$ .

Зависимость  $\Phi(\varphi_0, t)$  имеет характерный вид, аналогичный экспериментальным данным, приведенным на рис. 1.

Наибольший для практики интерес представляет получение зависимостей  $E_c(M)$  и  $E_d(M)$  (экспериментальные и расчетные зависимости приведены на рис. 2). Несмотря на некоторые расхождения в определении абсолютных величин  $E_c$  и  $E_d$ , объясняемые наличием неравномерности накачки по сечению, модель достаточно хорошо соответствует реальной ситуации, так как позволяет точно определить то значение  $M$ , при котором  $E_d$  принимает максимальное значение.

Расчеты показали, что величины  $E_c$  и  $E_d$  зависят от доли  $\mu$  мощности излучения, которая выводится из резонатора на каждом проходе: для каждого  $M$  существует  $\mu = \mu_{\text{опт}}$ , при котором  $E_d$  максимальна. Параметр  $\mu_{\text{опт}}$  в свою очередь довольно слабо зависит от увеличения ( $\mu_{\text{опт}} = 0.73$  при  $M = 100$  и  $\mu_{\text{опт}} = 0.85$  при  $M = 5$ ), что согласуется с экспериментальными данными.

В рамках используемой модели находит объяснение и тот факт, что расходимость  $\varphi_0$  по координате, соответствующей большему сечению активной среды, оказывается хуже, чем в перпендикулярном направлении. Дело в том, что число проходов  $n_0$ , необходимое для выделения основной моды из спонтанного шума, примерно равное  $n_0 = 1 + \ln(\varphi_1/\varphi_2)/\ln M$  [3], зависит от величины угла  $\varphi_1 = 2a(1 - 1/M)/L$ , где  $2a$  — поперечный размер среды в данном направлении,  $L$  — длина резонатора. Отсюда видно, что в том направлении, где сечение активной среды больше, для выделения основной моды требуется и большее время; в условиях когда в выходном пучке заметную долю составляет постоянно добавляющееся спонтанное излучение, это приводит и к большей расходимости. Определенный вклад в увеличение расходимости  $\varphi_0$  могли вносить также отражения от поверхностей электродов.

Таким образом, изложенная выше теория качественно правильно описывает энергетические и временные характеристики излучения, генерируемого электроразрядным XeCl лазером с телескопическим неустойчивым резонатором и поляризационным выводом. Есть все основания ожидать, что при использовании более совершенной модели активной среды с ее помощью можно будет проводить количественный анализ процесса генерации в таких лазерах.

Подчеркнем также, что созданный на базе ТНРПВ электроразрядный эксимерный лазер обладает при больших  $M$  не только малой расходимостью, но и гладким распределением интенсивности по поперечному сечению. Благодаря этому он оказывается весьма перспективным для применения в различных областях науки и техники. Например, получено ВКР преобразование его излучения в сжатом водороде в четыре стоксовых и две антистоксовых компоненты, причем порог возбуждения ВКР составлял 1 мДж [7].

### Литература

- [1] Barker P. L., Loree T. R. // Appl. Opt. 1977. Vol. 16. N 7. P. 1792—1796.
- [2] Bigio L. J., Slatkine M. // IEEE J. Quant. Electron. 1983. Vol. QE-19. N 9. P. 1426—1436.
- [3] Афаньев Ю. А. Оптические резонаторы и проблема расходимости лазерного излучения. М.: Наука, 1979. 328 с.
- [4] Афаньев Ю. А., Аникичев С. Г. // ЖТФ. 1983. Т. 53. Вып. 10. С. 1959—1965.
- [5] Грабчиков А. С., Квач В. В., Козич В. П., Орлович В. А. А. С. 1050507. БИ. 1985. № 24. 276 с.
- [6] Апанасевич П. А., Бохонов А. Ф., Бураков В. С. и др. // Тез. VI Межресп. семинара «Квантовая электроника и лазерная спектроскопия». Вильнюс, 1984. С. 17.
- [7] Апанасевич П. А., Бохонов А. Ф., Бураков В. С. и др. // Письма в ЖТФ. 1986. Т. 12. Вып. 7. С. 414—418.
- [8] Алькевич Л. В., Бохонов А. Ф., Бураков В. С. // ЖПС. 1984. Т. 40. № 2. С. 202—206.